

地衣芽孢杆菌 β -甘露聚糖酶的纯化及酶学性质

杨文博 佟树敏 沈 庆

(南开大学微生物学系, 天津, 300071)

摘要 地衣芽孢杆菌 (*Bacillus licheniformis*) NK-27 菌株发酵产生的 β -甘露聚糖酶 (β -mannanase) 经硫酸铵盐析沉淀, 两次 DEAE 纤维素和 Sephadex G-100 离子交换柱层析以及制备 PAGE 等步骤, 获得了凝胶电泳均一的样品。用 SDS-凝胶电泳测得纯化后的 β -甘露聚糖酶分子量为 26kD, 用凝胶聚丙烯酰胺电泳测得等电点 PI 为 5.0。酶反应的最适 pH 为 9.0, 最适温度为 60℃, 稳定 pH 为 6.0—9.0, 稳定温度为 40℃。金属离子中 Mg^{2+} 、 Ca^{2+} 、 Fe^{2+} 、 Ni^{2+} 对该酶有一定的激活作用; 而 Sn^{2+} 、 Zn^{2+} 、 Al^{3+} 、 Ag^+ 和 Hg^{2+} 对该酶有强烈的抑制作用。NK-27 菌株的 β -甘露聚糖酶对魔芋葡萄糖聚糖和角豆胶半乳甘露聚糖的 K_m 值分别为 7.14 和 5.56 mg · ml⁻¹; V_{max} 分别为 200.53 和 157.45 μ mol · mg⁻¹ · min⁻¹。

关键词 β -甘露聚糖酶, 地衣芽孢杆菌

近年来, 国内外先后报道了枯草芽孢杆菌 (*Bacillus subtilis* K-50)^[1]、嗜水气单胞菌 (*Aeromonas hydrophile* F-25)^[2]、卡塞尔黄肠球菌 (*Enterococcus casseliflavus* FL2121)^[3]、嗜碱芽孢杆菌 (*Bacillus alcalophilus* N-16、AM001)^[4,5] 等细菌产生 β -甘露聚糖酶, 并对酶的分离纯化和酶学性质进行了研究。由于 β -甘露聚糖酶不仅可以作为多糖糖链结构分析中必要的工具酶, 而且经 β -甘露聚糖酶水解植物胶后产生的低聚糖 (Oligosaccharide, 亦称寡糖) 是人体和动物体肠道中有益细菌——双歧杆菌的促生长因子^[6], 对维护人体健康大有裨益。因此, 该酶的研究、应用和开发已引起人们的兴趣。我们分离筛选的地衣芽孢杆菌 (*Bacillus licheniformis*) NK-27 菌株也具有产生 β -甘露聚糖酶的能力, 该酶的分离纯化及酶学性质报道如下。

1 材料与方法

1.1 菌种

地衣芽孢杆菌 (*Bacillus Licheniformis*) NK-27 菌株, 本室分离并保藏。

1.2 摆瓶发酵培养基(%)

魔芋粉 2, 豆饼粉 4, $Na_2HPO_4 \cdot 12H_2O$ 0.4,

KH_2PO_4 0.03, $MgCl_2$ 0.06, $CaCl_2$ 0.3, $FeSO_4 \cdot 7H_2O$ 0.001, Na_2CO_3 0.25, pH 7.0, 0.15 MPa 灭菌 30min。

1.3 摆瓶发酵产酶

500ml 锥形瓶装培养基 50ml, 37℃, 150r/min 往复式摇床振荡培养 48h, 收集发酵液。

1.4 试剂

DEAE-纤维素 (DE23)(Whatman 产品), Sephadex G-100 (瑞典进口分装), SDS (分析纯)、甘氨酸(华美生物工程公司), PEG 6000 (日本进口分装), 已知分子量标准蛋白质、载体两性电解质 (Ampholyte Carrier) pH 3.5—10 (中科院上海生化所), 魔芋粉 (成都魔芋精粉厂), 豆饼粉(天津酶制剂厂), 其它试剂均为国产分析纯。

1.5 β -甘露聚糖酶活力测定

参照 Akino^[7] 方法, 在 0.9ml 0.5% (W/V) 角豆胶底物中 (pH 9.0, 0.05mol/L 甘氨酸-NaOH 缓冲液配制) 加入适当稀释的酶液 0.1 ml, 50℃ 水浴反应 10min, 用 DNS 法测定产生的还原糖量。酶活力定义为: 在上述反应条件下, 每分钟释放出 1 μ mol 相当于甘露糖的还

本文系南开大学科学发展基金项目
1994-12-14 收稿

原糖所需的酶量为1个酶活力单位。

1.6 蛋白质测定

Lowry^[7]法和测定A_{280nm},以牛血清白蛋白绘制标准曲线。

1.7 酶的分离和纯化

1.7.1 硫酸铵盐析:发酵液于4℃ 11000×g离心30min去除菌体和残渣,在上清液中缓慢加入硫酸铵至30%饱和度,4℃过夜,11000×g离心,去除杂蛋白,于上清液中缓慢补加硫酸铵至饱和度80%,4℃过夜,收集沉淀,溶于少量pH9.0、0.01mol/L tris-HCl缓冲液中,经蒸馏水透析检查无铵离子后,再经同样缓冲液透析,计算收率。

1.7.2 第一次 DEAE 纤维素柱层析^[8]:透析后酶液加入到经上述缓冲液平衡过的DEAE-纤维素层析柱上端,用缓冲液洗至A_{280nm}不变,改用以同样缓冲液配制的0—0.5 mol/L NaCl(各300ml)进行梯度洗脱,流速7.5ml/10min,分部收集,分别测定A_{280nm}及酶活力,合并酶活性峰各管中的酶液,测定合并酶液的蛋白量及酶活力。

1.7.3 Sephadex G-100 柱层析^[10]:上述合并酶液于4℃对0.1mol/L NaCl-0.01mol/L tris-HCl(pH 9.0)缓冲液透析后浓缩50倍,加至预先用同样缓冲液平衡过的Sephadex G-100柱,洗脱并分部收集,流速4ml/min,分别测定各收集管和合并酶活性峰管酶液的A_{280nm}和酶活力。

1.7.4 第二次 DEAE-纤维素(DE23)柱层析:方法同前。收集液用PEG 6000进行浓缩。

1.8 酶学性质

1.8.1 酶分子量测定:SDS-PAGE电泳法^[8,11],电泳后用不同蛋白质分子量对数对Rf作图,求出β-甘露聚糖酶的分子量。

1.8.2 酶的等电点测定:凝胶电聚焦电泳法^[10]。

1.8.3 酶的Km值及V_{max}测定:在pH9.0的0.05mol/L甘氨酸-NaOH缓冲液中,以魔芋粉和角豆胶为底物,用Lineweaver-Burk作图

法求出酶对两种底物的Km和V_{max}。

1.8.4 温度对酶活力的影响:在不同温度下用常规法测定酶活力。

1.8.5 酶的热稳定性:酶液在不同温度下保温30min后按常规法测定酶活力。

1.8.6 pH对酶活力的影响:以下列不同pH值的缓冲液配制底物和稀释酶液,按常规法测定酶活力。pH4.0—5.0(0.05mol/L HAc-NaAc); pH 6.0—8.0(0.05 mol/L Na₂HPO₄-NaH₂PO₄); pH9.0—10.5(0.05mol/L 甘氨酸-NaOH); pH 11—12(0.05 mol/L Na₂CO₃-NaOH)。

1.8.7 酶的pH稳定性:酶液与上述不同pH值的缓冲液于50℃、保温30min后,按常规法测定酶活力。

1.8.8 金属离子对酶活力的影响^[11]:用1×10⁻³mol/L的各种金属离子溶液(除AgNO₃和醋酸铅外,其它均为金属氯化物)与酶液在37℃保温30min后,以未加金属离子的酶液为对照,常规法测定酶活力。

2 结果

2.1 β-甘露聚糖酶的分离和纯化

2.1.1 硫酸铵分步盐析:从表1所列结果可看出,在80%以上的饱和度中酶收率已不再增加,表明80%硫酸铵饱和度已将酶蛋白沉淀完全,而在30%硫酸铵饱和度时酶活力和收率很低,视为发酵液中的杂蛋白。

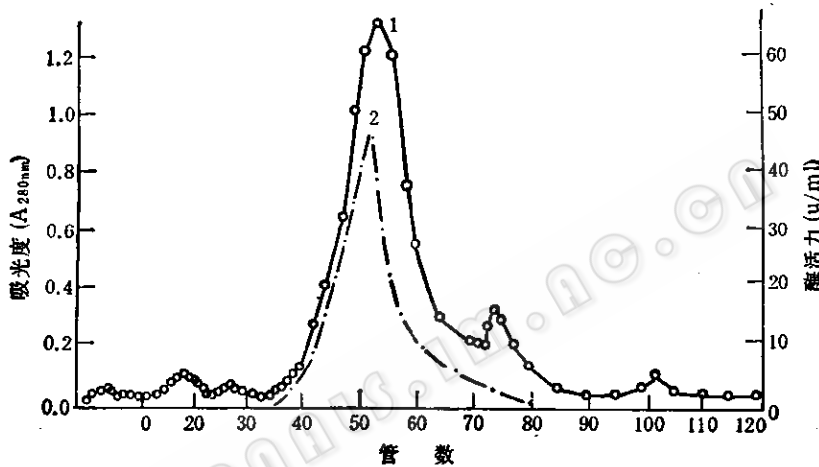
表1 不同饱和度硫酸铵中β-甘露聚糖酶的收率

硫酸铵饱和度(%)	总酶活力×10 ³ (u)	收率(%)
30	0.003	0.07
40	0.237	5.1
50	1.292	27.8
60	2.357	50.7
70	2.892	62.2
80	3.185	68.5
90	3.185	68.5

2.1.2 β-甘露聚糖酶的柱层析纯化:经三次柱层析(DEAE-纤维素→Sephadex G100→DEAE-纤维素)已将NK-27菌株产生的β-甘

表 2 地衣芽孢杆菌 NK-27 β -甘露聚糖酶的纯化

步骤	体积 (ml)	总酶活力 $\times 10^3$ (u)	总蛋白 $\times 10^3$ (mg)	比活力 (u/mg)	收率 (%)	提纯倍数
粗酶液	659	53.38	76.44	6.98	100	1.0
$(\text{NH}_4)_2\text{SO}_4$ 盐析	39	22.74	6.34	35.86	42.6	5.14
DEAE-纤维素 (DE 23) 层析	165	8.38	1.71	49.1	15.7	7.03
Sephadex G-100 层析	108	3.56	0.63	56.54	6.7	8.10
DEAE-纤维素 (DE 23) 层析	187	0.94	0.13	70.1	1.8	10.04

图 1 β -甘露聚糖酶 Sephadex-100 柱层析1. $A_{280\text{nm}}$; 2. 酶活力

露聚糖酶基本纯化(图1)。柱层析洗脱液经PEG 6000浓缩后获得纯化后的酶液3.0ml。各步提纯结果列于表2。酶样品其比活力为70.1u/mg, 收率1.8%, 提纯10.04倍。

2.2 β -甘露聚糖酶的酶学性质

2.2.1 酶的分子量: 经SDS-PAGE电泳后, 从电泳图谱(图2)可以看出, 酶蛋白呈一条蛋白带, 表明NK-27菌株所产生的 β -甘露聚糖酶为一种组分。用已知标准蛋白质的分子量对数对Rf值作图, 求出酶样品的分子量为26kD。

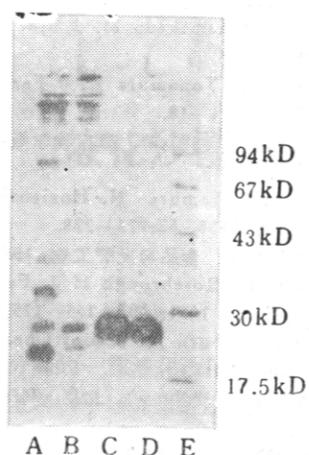
2.2.2 酶的等电点: 用凝胶电聚焦电泳法测得 β -甘露聚糖酶的等电点PI为5.0。

2.2.3 β -甘露聚糖酶的动力学常数: 用Lineweaver-Burk作图法求得 β -甘露聚糖酶对魔

芋葡萄甘露聚糖和角豆胶半乳甘露聚糖的Km值分别为7.14mg/ml和5.56mg/ml; V_{max}分别为200.53 $\mu\text{mol} \cdot \text{mg}^{-1} \cdot \text{min}^{-1}$ 和157.45 $\mu\text{mol} \cdot \text{mg}^{-1} \cdot \text{min}^{-1}$ 。

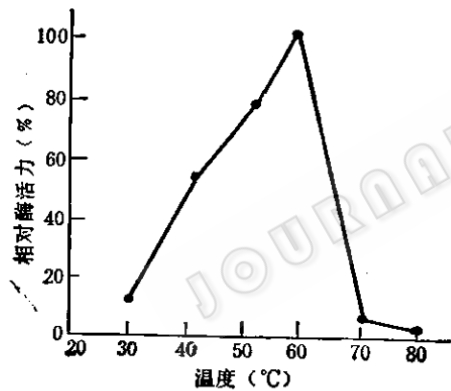
2.2.4 温度对酶活力和酶稳定性的影响: 图3、图4的结果表明, 酶的最适反应温度为60℃, 经30—80℃梯度保温30min后, 30—50℃区间酶的稳定性最佳。随温度升高, 酶失活严重, 超过70℃酶几乎完全失活, 说明该酶对高温敏感。

2.2.5 pH对酶活力和酶稳定性的影响: 从图5可看出酶的最适pH值为9.0, 高于9.0酶活力急速下降。但低于9.0酶活力和耐受性则相对稳定。在pH6—8的范围内能保持90%左右的酶活力。我们认为这对于使用该酶水解

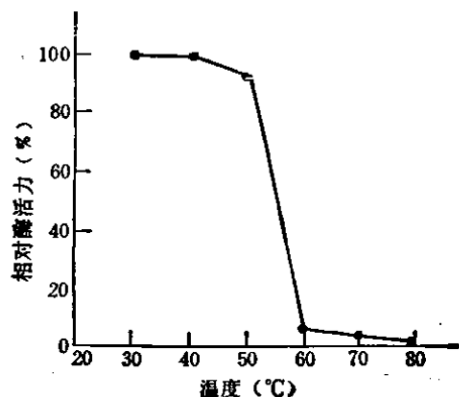
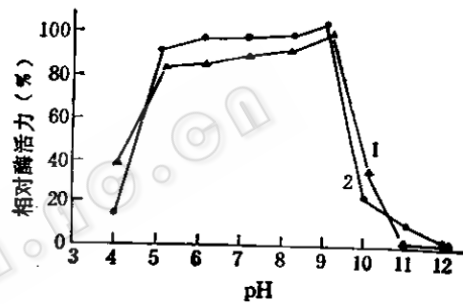
图2 β -甘露聚糖酶 SDS-PAGE 电泳图谱

A. $(\text{NH}_4)_2\text{SO}_4$ 盐析样品 B. NK-27 β -甘露聚糖酶纤维素柱层析样品 C. D. NK-27 β -甘露聚糖酶三次柱层析后样品 E. 标准分子量蛋白

94kD: 磷酸化酶 B 67kD: 牛血清白蛋白 43kD: 肌动蛋白 30kD: 碳酸酐酶 17.5kD: TMV 外壳蛋白

图3 温度对 β -甘露聚糖酶的影响表3 金属离子对 β -甘露聚糖酶活力的影响

金属离子 (1×10^{-3} mol/L)	相对活力 (%)	金属离子 (1×10^{-3} mol/L)	相对活力 (%)
对照	100.0	Li^+	78.7
Mg^{2+}	116.7	Ba^{2+}	78.7
Ca^{2+}	109.3	Pb^{2+}	77.8
Fe^{2+}	108.3	Cu^{2+}	74.1
Ni^{2+}	107.4	Al^{3+}	36.1
Co^{2+}	101.5	Ag^+	30.5
K^+	101.3	Hg^{2+}	23.7
Na^+	100.0	Zn^{2+}	14.1
Mn^{2+}	92.6	Sn^{4+}	4.4

图4 温度对 β -甘露聚糖酶稳定性的影响图5 pH对 β -甘露聚糖酶活力和稳定性的影响

1. 酶活力, 2. 酶稳定性

魔芋粉、角豆胶等植物胶制取低聚糖较为有利，因为中性的水解条件可避免因过酸或过碱而带来的后提取脱盐工艺。

2.2.6 金属离子对酶活力的影响：表3结果表明， Mg^{2+} 、 Ca^{2+} 、 Fe^{2+} 、 Ni^{2+} 、 Co^{2+} 和 K^+ 对该酶有一定的激活作用； Li^+ 、 Ba^{2+} 、 Pb^{2+} 、 Cu^{2+} 对酶有抑制作用；而 Hg^{2+} 、 Ag^+ 、 Al^{3+} 、 Zn^{2+} 和 Sn^{4+} 对酶有强烈的抑制作用。

3 讨论

不同微生物所产生的 β -甘露聚糖酶在酶的组分、分子量、等电点、最适 pH 值、最适温度以及 K_m 、 V_{max} 均有所差异^[4]。嗜碱芽孢杆菌 AM001^[5]、嗜碱芽孢杆菌 N16-5^[4] 产生 3 种不同分子量的 β -甘露聚糖酶；卡塞尔黄肠球菌 FL2121 产生 2 种大分子量的 β -甘露聚糖酶（M-I 和 MII 分子量分别为 142000 和

137000)^[3]。本文报道的地衣芽孢杆菌NK-27菌株的 β -甘露聚糖酶经纯化后只获得1种具有活力的酶蛋白。在最适温度、稳定pH值、等电点和分子量等酶学性质方面与Emi报道的*B. subtilis* K-50^[4]菌株所产 β -甘露聚糖酶较为接近。

根据本文的试验结果, NK-27菌株的 β -甘露聚糖酶的最适反应温度为60℃, 但其在60℃时酶活力的稳定性却很差, 而30—40℃稳定性最佳。该酶的最适pH为9, 但pH7时仍可保持97.9%的酶活力, 这对于在常温、中性pH值条件下应用该酶进行植物胶酶解制取低聚糖或许更为有利。

参 考 文 献

[1] Emi S, Fukumoto J, Yamamoto T. Agric Biol

- [2] Araki T, Kitamikado M. J Biochem, 1982, 91(4):1181—1186.
- [3] Komaki T, Tonomura K. J Ferment Bioeng, 1993, 76(1):14—18.
- [4] 田新玉, 徐毅, 马延和, 等. 微生物学报, 1993, 33(2):115—121.
- [5] Akino T, Nakamura N, Horiroshi K. Agric Biol Chem, 1988, 52:773—779.
- [6] 马延和, 周培瑾. 食品与发酵工业, 1992, 1: 80—82.
- [7] Lowry O H, Rosebrough H J, Farr A L, et al. J Biol Chem, 1951, 193: 265—275.
- [8] Weber K, Osborn M. J Biol Chem, 1969, 244(16): 4406—4412.
- [9] 林卓坤主编. 色谱法(一), 北京. 科学出版社, 1982, 42—60.
- [10] 张树政主编. 酶学研究技术, 北京. 科学出版社, 1987, 42—54, 195—200.
- [11] 张龙翔, 张庭芳, 李令媛主编. 生化试验方法和技术. 北京. 高教出版社, 1981, 112—119.

PURIFICATION AND PROPERTIES OF β -MANNANASE FROM *BACILLUS LICHENIFORMIS*

Yang Wenbo Tong Shumin Shen Qing

(Department of Microbiology, Nankai University, Tianjin, 300071)

Abstract The β -mannanase was yield by *Bacillus licheniformis* Nk-27 the β -mannanase was purified to SDS-PAGE homogeneity by $(\text{NH}_4)_2\text{SO}_4$ precipitation, twice DEAE-Cellulose column chromatography, Sephadex G-100 column gel filtration. Molecular weight and Pe values of the β -mannanase were 26000 and 5.0 by SDS-PAGE and PAGEIEF. The optimum conditions for enzyme activity were pH9.0, temperature 60℃. Its showed a high stability at temperature 40℃.

The activity of enzyme were enhanced by Mg^{2+} , Ca^{2+} , Fe^{2+} , Ni^{2+} , and were strongly inhibited by Sn^{2+} , Zn^{2+} , Al^{3+} , Ag^+ , Hg^{2+} . The michaelis constants (K_m) values for Konjak-glucomannan and locust bean-galactomannan were 7.14mg/ml and 5.56mg/ml. Maximum velocities (V_{max}) for saccharides were $200.53\mu\text{mol} \cdot \text{mg}^{-1} \cdot \text{min}^{-1}$ and $157.45\mu\text{mol} \cdot \text{mg}^{-1} \cdot \text{min}^{-1}$.

Key words β -mannanase, *Bacillus licheniformis*